

Università degli studi di Bergamo

Scuola di Ingegneria (Dolmine)

CCS Ingegneria Edile

L-23 Ingegneria delle Tecnologie per l'Edilizia

Scienza delle Costruzioni

( ICAR/08 - SdC ; 9 CFU )

A.A. 2020/2021

prof. Egidio RIZZI

[egidio.rizzi@unibg.it](mailto:egidio.rizzi@unibg.it)

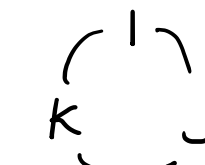
LEZIONE 18

## 2) Criterio di resistenza di de Saint Venant - Grashof

- Concetto: analogamente a G.-R.-N., assume come G.I.P. la deformazione normale massima (e minima):

$$-\varepsilon_c \leq \varepsilon_n \text{ min}, \quad \varepsilon_n \leq \varepsilon_+ \text{ max}$$

$\Leftrightarrow \varepsilon_I, \varepsilon_{II}, \varepsilon_{III}$



"traduzione"  
↓

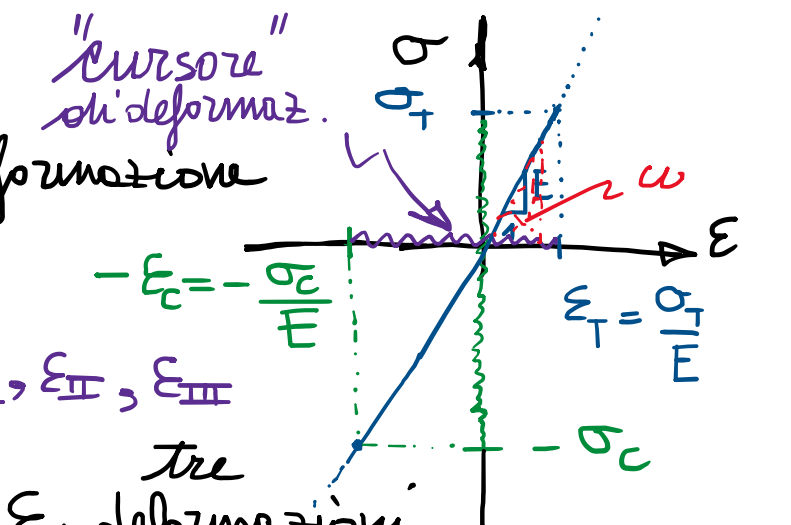
$$-\varepsilon_c \leq \varepsilon_1$$

tramite  
legge costit.  
↓

$$\varepsilon_1 \leq \varepsilon_T$$

- Trasformazione del criterio nel dominio degli sforzi

(Hooke generalizzate)



tre deformazioni principali

$$\varepsilon_n \text{ min} = \varepsilon_{III} \leq \varepsilon_{II} \leq \varepsilon_I = \varepsilon_n \text{ max}$$

$$-\frac{\sigma_c}{E} = -\varepsilon_c \leq \frac{\sigma_1}{E} - \nu(\sigma_j + \sigma_k) \leq \varepsilon_T = \frac{\sigma_T}{E}$$

$$-\sigma_c \leq \underbrace{\frac{\sigma_1 - \nu(\sigma_j + \sigma_k)}{E}} \leq \sigma_T$$

N.B.: criterio fondato sulla

deformazione, dipendente  
da parametri elasticci  
(un parametro elastico: ν)

$$\sigma_{eq}(\sigma, \varepsilon)$$

dipendente da ν (coefficiente di contrazione trasversale  
di Poisson)

6 diseguaglianze nello spazio

degli sforzi principali  $\sigma_I \geq \sigma_{II} \geq \sigma_{III}$

(coefficiente di contrazione trasversale  
di Poisson)

N.B.  $-1 < 0 \leq \nu < \frac{1}{2}$

materici ingegneristici

- Per stato di sforzo piano (ad es.  $\sigma_{III} = 0$ ), le 6 diseguaglianze divengono:

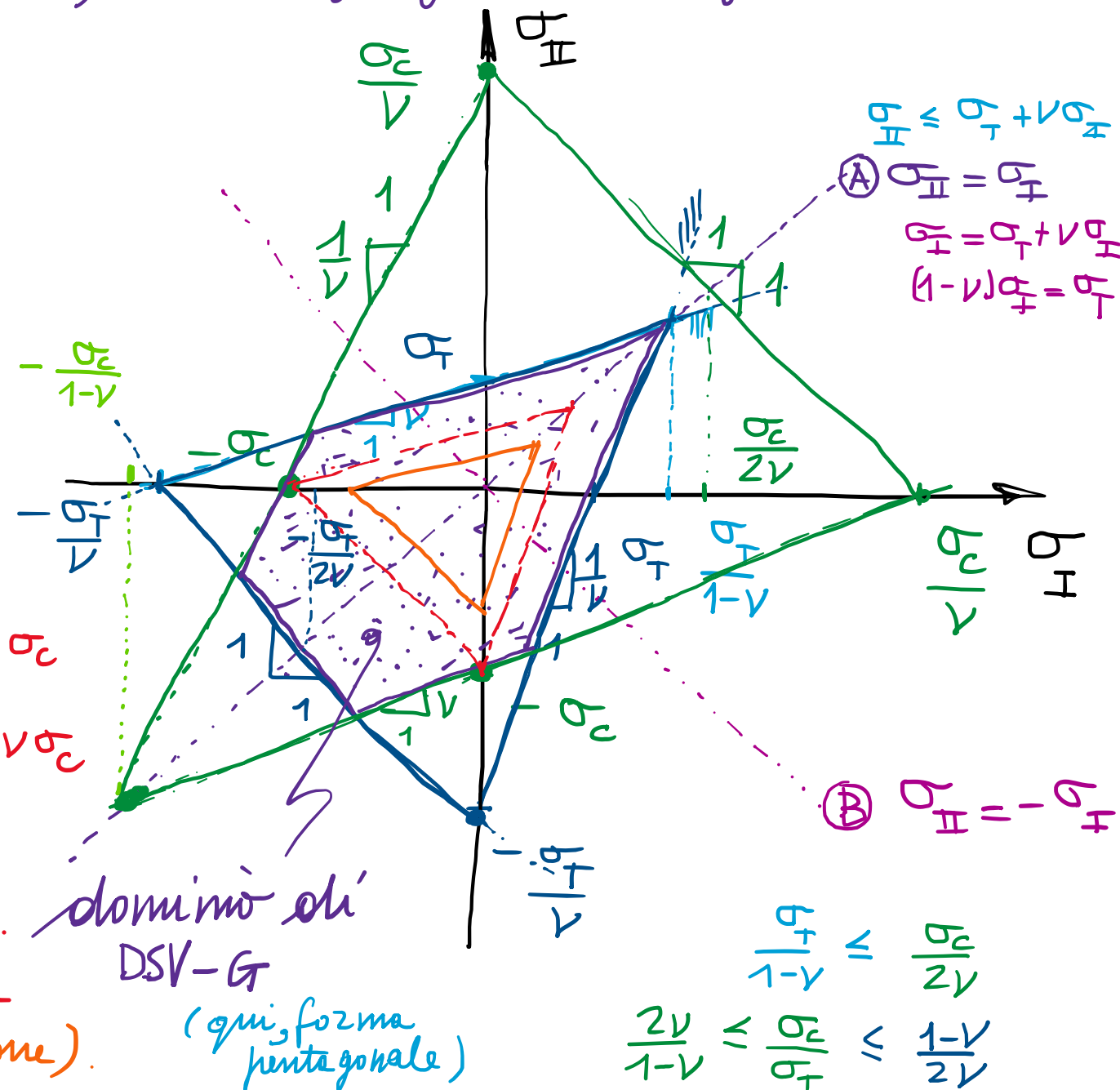
$$\begin{aligned} -\sigma_c &\leq \sigma_I - \nu \sigma_{II} \leq \sigma_T \\ -\sigma_c &\leq \sigma_{II} - \nu \sigma_I \leq \sigma_T \\ -\sigma_c &\leq -\nu(\sigma_I + \sigma_{II}) \leq \sigma_T \end{aligned}$$

- Dominio di resistenza: intersezione di due triangoli isosceli, dipendenti da  $\sigma_T$ ,  $\sigma_c$ ;  $\nu$ .

- Forma rombica se:

$$\frac{2\nu}{1-\nu} \leq \frac{\sigma_c}{\sigma_T} \leq \frac{1-\nu}{2\nu}$$

- Può cadere in difetto se  $\sigma_T < \nu \sigma_c$ , per materiali con marcato comportamento asimmetrico a trazione/compressione (non raggiungibile la resist. a compressione).



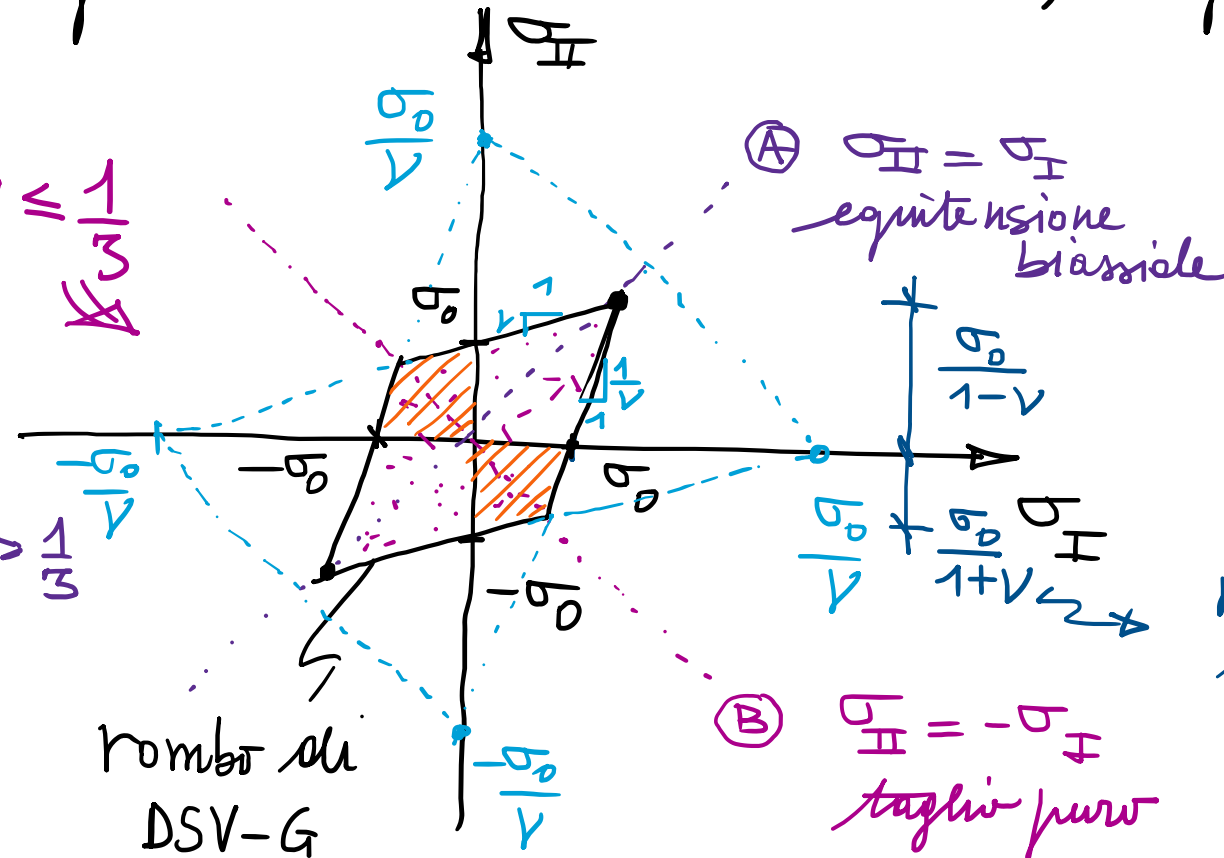
- Per materiali a comportamento simmetrico a trazione/compressione, cioè con  $\sigma_0 = \sigma_T = \sigma_C$

$$\sigma_0 = \sigma_T = \sigma_C$$

- Forma rombica:  $\nu \leq \frac{1}{3}$

$$\frac{2\nu}{1-\nu} \leq 1 \leq \frac{1-\nu}{2\nu}$$

- Forma esagonale:  $\nu > \frac{1}{3}$



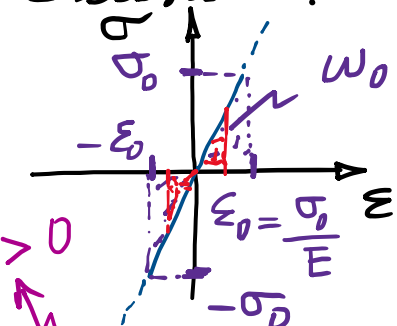
- Utilizzato per le verifiche di resistenza in presenza di stati di sforzo alle de Saint Venant (vedi pb. di DSV), caratterizzati da tensioni principali di segno opposto:  $\sigma_I \cdot \sigma_{II} \leq 0$ .
- Recepisce il diverso (maggiore) livello di pericolosità di stati B vs. A.

3) Criterio di Beltrami (per materiali a comportamento simmetrico traz./comp.) -

- Di significato energetico, assume come G.I.P. l'energia di deformazione elastica:

$$\omega = \frac{1}{2} \sigma : \epsilon \leq \omega_0 = \text{valore ammesso a limite elastico}$$

$$= \frac{1}{2} \sigma_0 \epsilon_0 \quad (\text{da prova monoassiale}) = \frac{1}{2} \frac{\sigma_0^2}{E} > 0$$



- Nel slomino degli sforzi, esprimendo  $\epsilon$  tramite legge costitutiva:

quadratico  
in  $\sigma$

$$\epsilon = -\frac{\nu}{E} \text{tr} \sigma \mathbb{I} + \frac{1+\nu}{E} \sigma \quad [\text{legge di Hooke generalizzata}]$$

indipendentemente  
dal segno dello  
stato di sforzo

$$\omega = \frac{1}{2} \left( -\frac{\nu}{E} \text{tr} \sigma \underbrace{\sigma : \mathbb{I}}_{\text{tr} \sigma} + \frac{1+\nu}{E} \underbrace{\sigma : \sigma}_{\sigma_{ij} \sigma_{ij}} \right)$$

$$\text{rif. princ. } [\sigma] = \begin{bmatrix} \sigma_I \\ \sigma_{II} \\ \sigma_{III} \end{bmatrix}$$

$$(\text{tr} \sigma)^2 = (\sigma_I + \sigma_{II} + \sigma_{III})^2 = \sigma_I^2 + \sigma_{II}^2 + \sigma_{III}^2 + 2(\sigma_I \sigma_{II} + \sigma_{II} \sigma_{III} + \sigma_I \sigma_{III}) \sim \sigma^2$$

$$\sigma : \sigma = \sigma_I^2 + \sigma_{II}^2 + \sigma_{III}^2$$

$$\frac{1}{2} \frac{1}{E} \left[ \sigma_I^2 + \sigma_{II}^2 + \sigma_{III}^2 - 2\nu(\sigma_I \sigma_{II} + \sigma_{II} \sigma_{III} + \sigma_I \sigma_{III}) \right] \leq \frac{1}{2} \frac{\sigma_0^2}{E}$$

misensibili al  
segno dello  
stato di sforzo

ellisseide nello spazio  $\sigma_I, \sigma_{II}, \sigma_{III}$

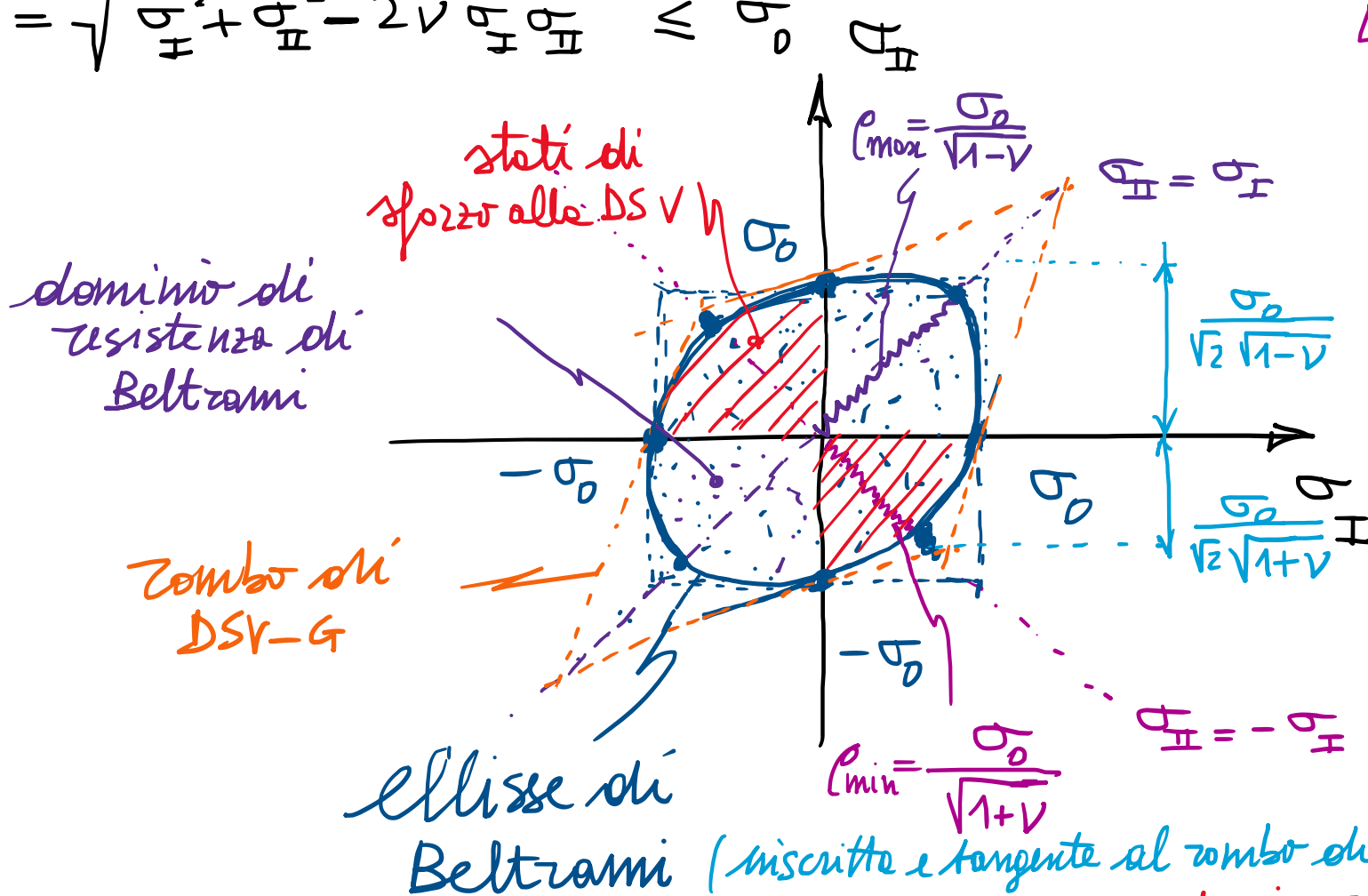
di Beltrami

$$\sigma_{eq}^B = \sqrt{\sigma_I^2 + \sigma_{II}^2 + \sigma_{III}^2 - 2\nu(\sigma_I \sigma_{II} + \sigma_{II} \sigma_{III} + \sigma_I \sigma_{III})} \leq \sigma_0$$

(indipendentemente da  $\nu$ )

- Nel caso di stato di sforzo piano (ad es.  $\sigma_{III} = 0$ )

$$\sigma_{eq}^B = \sqrt{\sigma_I^2 + \sigma_{II}^2 - 2\nu\sigma_I\sigma_{II}} \leq \sigma_0$$



- Utile a rappresentare la verifica di resistenza per materiali a comport. simmetrico, per stato di sforzo piano (non adatto per stati di sforzo triassiali), in particolare alle DSV, con  $\sigma_I \cdot \sigma_{II} \leq 0$ .

$$\sigma_I^2 + \sigma_{II}^2 - 2\nu\sigma_I\sigma_{II} = \sigma_0^2$$

eq. ne s'è ellisse ruotata di  $45^\circ$ , simmetrica rispetto alle bisettrici, di semiassi  $c_{max}$  e  $c_{min}$

$$\nu \leq 1/3$$

$$\text{per } \nu \rightarrow 1/2 : c_{max} = \sqrt{2}\sigma_0 \\ (2 \gg vM)$$

$$c_{min} = \sqrt{\frac{2}{3}}\sigma_0$$

$c_0$  resistenza a taglio secondo Beltrami

4) Criterio di Huber-Hencky - von Mises  $\Leftrightarrow$  per materiali metallici ( $\sigma_0 = \sigma_T = \sigma_c$ )

- Ancore di significato energetico ma considera le sole energie deviatoriche ai fini del raggiungimento (dell'uscita) del limite elastico del materiale (osservazione sperimentale) [cette triassiali]

$\stackrel{\text{Beltrami}}{\downarrow} \quad \stackrel{\text{von Mises}}{\downarrow}$

- Assume come G.I.P. l'energia deviatorica: ( $\omega = \omega_v + \omega_d$ )

$$\omega_d = \frac{1}{2} \mathbb{S} : \mathbb{E} \leq \omega_d^0 \quad (\text{per es. con riferimento alla prova monoassiale di f.t.})$$

- Nel dominio degli sfazzi, da legge cost. (deviatorica)

$$\mathbb{E} = \frac{\mathbb{S}}{2G}; \quad G = \frac{E}{2(1+\nu)}$$

$$\omega_d = \left[ \frac{1}{2} \mathbb{S} : \frac{\mathbb{S}}{2G} \right] = \frac{3 J_2}{32G} = \frac{3 J_2}{6G} \leq \frac{3 J_2^0}{6G} \rightarrow \overset{\sqrt{M}}{\omega_{eq}} = \sqrt{3 J_2} \leq \sqrt{3 J_2^0}$$

ove:

$$\mathbb{S} = \sigma - \underbrace{\frac{1}{3} \text{tr} \sigma}_{\mathbb{I}} \mathbb{I}$$

deviatore  
di sfazzi

$$p = \frac{\sigma_I + \sigma_{II} + \sigma_{III}}{3} \quad \text{tensione media}$$

rif.  
princ.

$$[\mathbb{S}]^2 = \begin{bmatrix} (\sigma_I - p)^2 \\ (\sigma_{II} - p)^2 \\ (\sigma_{III} - p)^2 \end{bmatrix}$$

invariante  $J_2 = \frac{1}{2} \mathbb{S} : \mathbb{S} = \frac{1}{2} \sum_{ij} S_{ij} S_{ij} = \frac{1}{2} \text{tr} \mathbb{S}^2 = \frac{1}{2} \sum_i S_i^2$   $S_i = \sigma_i - p$

secondo  
del deviatore

- Sviluppando, si ottiene:

$$\begin{aligned}
 3J_2 &= \frac{3}{2} \left[ (\sigma_I - p)^2 + (\sigma_{II} - p)^2 + (\sigma_{III} - p)^2 \right] \\
 &= \frac{3}{2} \left[ \sigma_I^2 + \sigma_{II}^2 + \sigma_{III}^2 + 3p^2 - 3 \cdot 2p \underbrace{\left( \frac{\sigma_I + \sigma_{II} + \sigma_{III}}{3} \right)}_{\cancel{3p^2}} \right] \\
 &\quad - 3p^2 = -3 \underbrace{\left( \frac{\sigma_I + \sigma_{II} + \sigma_{III}}{3} \right)^2}_{\cancel{3p^2}} \\
 &= \cancel{\frac{3}{2}} \frac{1}{3} \left[ \cancel{3(\sigma_I^2 + \sigma_{II}^2 + \sigma_{III}^2)} - \cancel{3(\sigma_I^2 + \sigma_{II}^2 + \sigma_{III}^2)} - \cancel{2(\sigma_I \sigma_{II} + \sigma_{II} \sigma_{III} + \sigma_I \sigma_{III})} \right]
 \end{aligned}$$

$$= \sigma_I^2 + \sigma_{II}^2 + \sigma_{III}^2 - (\sigma_I \sigma_{II} + \sigma_{II} \sigma_{III} + \sigma_I \sigma_{III})$$

tensione equivalente di von Mises

$$\sigma_{eq}^{vM} = \sqrt{3J_2} = \sqrt{\sigma_I^2 + \sigma_{II}^2 + \sigma_{III}^2 - (\sigma_I \sigma_{II} + \sigma_{II} \sigma_{III} + \sigma_I \sigma_{III})} \leq \sigma_0$$

(comincia con  $\sigma_I$  nel caso monodimensionale)

- Simile a Beltrami, con  $\nu \rightarrow 1/2$ , corrisponde ad annullare  $w_V$ ,  $w = w_D$ , per materiale incompressibile (come se fosse).

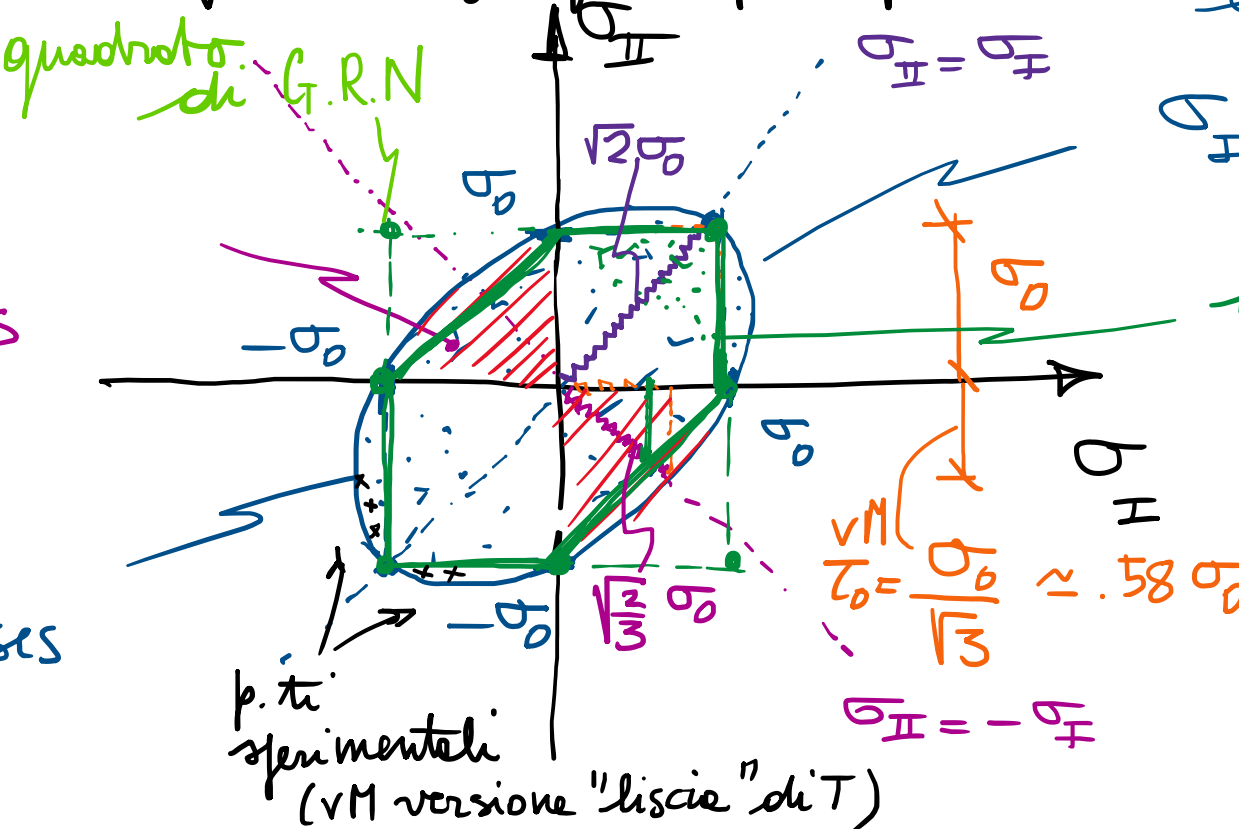
- Indipendente dai parametri elastici ( $\nu \approx 0.3$  per mat. metallici). ( $\nu$  è assegnato ma  $\sigma_{eq}^{vM}$  è indip. da  $\nu$ )

$$- Caso piano ( $\sigma_{III}=0$ ): \quad \sigma_{eq}^{vM} = \sqrt{\sigma_I^2 + \sigma_{II}^2 - \sigma_I \sigma_{II}} \leq \sigma_0$$

- Rappresentazione nel piano degli spazi principali

domino di  
resistenza  
di von Mises

ellisse  
di von Mises



ellisse di von Mises

$$d^2 = \sigma_{\text{II}}^2 + \sigma_{\text{I}}^2 - 2\sigma_{\text{I}}\sigma_{\text{II}}$$

esagono di Fresco  
(mascitto nell'ellisse di  
von Rises — per  
parametrizzazione  
su prove di trazione)

$$T_0^+ = \frac{B_0}{2} = 0.5 B_0$$

- Idoneo a rappresentare le verifiche di resistenza (e il criterio di plasticità) per materiali metallici, sottoposti a stati di sforzo generici, anche tridimensionali, nonché per approcci finiti, in particolare alle DSV ( $\sigma_I \cdot \sigma_{II} \leq 0$ ) - Interpretare correttamente l'usato del campo elastico per stati tensio-deformativi deviatorici.

## 5) Criterio di Guest-Tresca (materiali metallici)

- Duele di G.R.N., sempre nel dominio degli sforzi, ma molti si riferiscono come critici, gli sforzi taglienti, cioè le  $\tau^{\max}$   $\rightarrow$  G.I.P.

$$\tau^{\max} \leq \tau_0 \text{ resist. a taglio del materiale}$$

### Cerchi di Mohr (e cerchietto di Mohr)

$$\tau^{\max} = \max \left\{ R_I = \frac{|\sigma_J - \sigma_K|}{2} \right\} \leq \tau_0 = \frac{\sigma_0}{2}$$

$$-\sigma_0 \leq \sigma_I - \sigma_{II} \leq \sigma_0$$

$$-\sigma_0 \leq \sigma_{II} - \sigma_{III} \leq \sigma_0$$

$$-\sigma_0 \leq \sigma_{III} - \sigma_I \leq \sigma_0$$

6 disegnazioni

- Caso piano  $\sigma_{III} = 0$   $\sigma_{eq}^T$

- Criterio più conservativo.  $\rightarrow$  rappresentazione e pagina precedente (esagono di Tresca)

Vedi G.R.N.

